

## ЭКСПЕРИМЕНТАЛЬНОЕ ИЗУЧЕНИЕ ФУНКЦИИ ВОЗБУЖДЕНИЯ РЕАКЦИИ $^{19}\text{F}(n, \alpha)^{16}\text{N}$ В ДИАПАЗОНЕ ЭНЕРГИЙ НЕЙТРОНОВ 4–7,35 МэВ

И. П. Бондаренко, В. А. Хрячков, Т. А. Иванова,  
Б. Д. Кузьминов, Н. Н. Семенова, А. И. Сергачев

Федеральное государственное унитарное предприятие «Государственный научный центр  
Российской Федерации – Физико-энергетический институт им. А. И. Лейпунского»,  
Обнинск, Россия

Изучение взаимодействия нейтронов с легкими ядрами представляет интерес с точки зрения понимания механизмов ядерных реакций. Ядра фтора занимают особое место, поскольку в перспективных реакторах, работающих на расплавленных солях, фтор присутствует в активной зоне в огромных количествах и способен заметно влиять на кинетику цепной реакции. В данной работе представлены результаты экспериментального исследования сечения реакции  $^{19}\text{F}(n, \alpha)^{16}\text{N}$  для нейтронов в диапазоне от 4 до 7,35 МэВ.

The interaction of neutrons with light nuclei is interesting for nuclear reaction mechanism understanding. Fluorine nuclei cross-section data are of a great importance due to the usage of fluorine-containing salts in advanced nuclear reactors. Their active zone is filled up with molten salts, and so fluorine cross-section affects nuclear chain reaction kinetics. The experimental investigation of  $^{19}\text{F}(n, \alpha)^{16}\text{N}$  reaction cross-section in 4–7.35 MeV energy region is represented in this work.

PACS: 28.20.-v; 29.30.Ep; 29.40.Cs

### ВВЕДЕНИЕ

Одной из перспективных ядерных технологий является солевой реактор. В этом типе реактора расплав солей (фторидов) урана или тория является одновременно и топливом, и теплоносителем. Это обеспечивает отличный теплосъем и возможность очистки и замены топлива без остановки реактора. При такой конструкции реактора в активной зоне находится большое количество ядер фтора, которые находятся в непосредственном контакте с делящимися ядрами и, следовательно, подвергаются воздействию незамедленных нейтронов, возникающих при делении тяжелых ядер. В таких условиях взаимодействие быстрых нейтронов с ядрами фтора может заметно влиять на кинетику реактора.

Нашей целью было исследование сечения реакции  $^{19}\text{F}(n, \alpha)^{16}\text{N}$ . Экспериментальные данные для сечения этой реакции сильно отличаются в работах разных авторов. Оценки, даваемые различными библиотеками ядерных данных, в свою очередь, также заметно отличаются друг от друга. Для уточнения данных был разработан новый, низкофоновый метод, позволяющий измерять выход продуктов изучаемой реакции напрямую. С использованием этого метода были проведены подробные измерения энергетического хода сечения реакции  $^{19}\text{F}(n, \alpha)^{16}\text{N}$ .

## 1. МЕТОД ИЗМЕРЕНИЙ

В настоящей работе измерения сечения реакции  $^{19}F(n, \alpha)^{16}N$  были выполнены на ускорителе ЭГ-1 ГНЦ РФ – ФЭИ. Нейтроны генерировались в реакции  $D(d, n)$  на твердой титановой мишени толщиной 0,97 мг/см<sup>2</sup>. Измерения были выполнены в интервале энергий нейтронов от 4,0 до 7,35 МэВ.

Исследования сечения проводились с помощью детектора, представляющего собой двойную ионизационную камеру. Одна часть камеры являлась ионизационной камерой с сеткой Фриша и служила для спектрометрии событий, связанных со взаимодействием нейтронов с ядрами фтора. Другая плоскопараллельная камера служила для регистрации осколков деления  $^{238}U$ , которые использовались для мониторирования нейтронного потока (рис. 1).

Сигналы с различных электродов камеры усиливались и затем оцифровывались с помощью оцифровщика формы импульсов LeCroy 2262. Дальнейшая обработка сигналов проводилась программным путем с использованием алгоритмов цифровой обработки сигналов. В процессе обработки извлекалась информация об амплитудах анодного и катодного сигналов, а также моментах начала и окончания этих сигналов. Совместный анализ этой информации позволял определить энергию заряженных частиц, место возникновения события в межэлектродном пространстве и тип регистрируемой частицы.

Камеры заполнялись смесью 95 % Kr + 5 % CF<sub>4</sub>, находящейся под давлением 3 бар. Фтор, содержащийся в рабочем газе, служил мишенью для налетающих нейтронов. Ис-

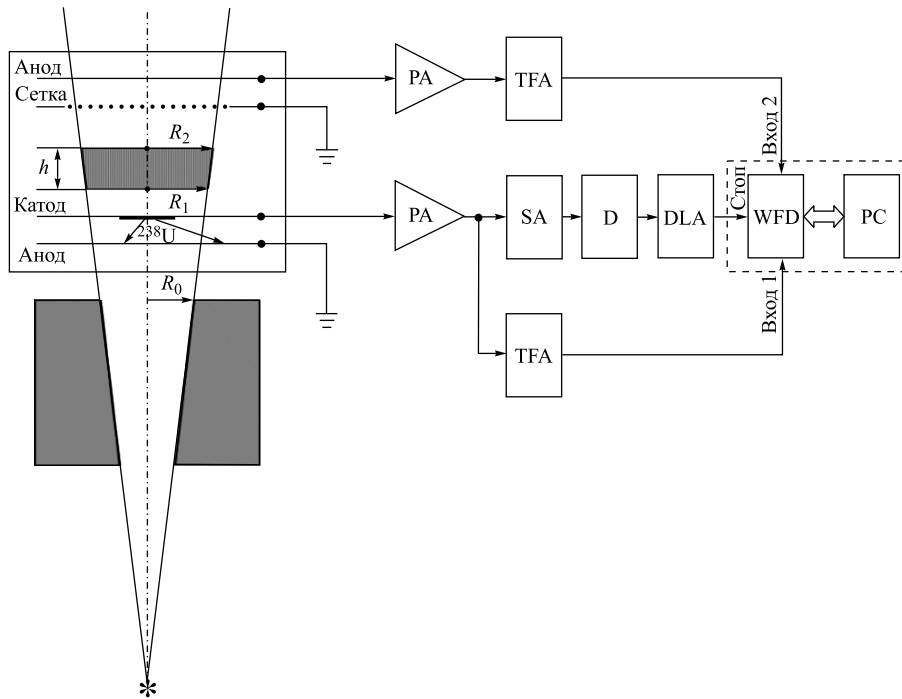


Рис. 1. Блок-схема экспериментальной установки: PA — зарядочувствительный предусилитель; TFA — быстрый усилитель; D — дискриминатор со следящим порогом; DLA — блок задержки; SA — спектрометрический усилитель

пользование газовой мишени позволило значительно увеличить число ядер в изучаемом образце и, следовательно, сократить время измерений. Применение методов коллимации быстрых нейтронов в сочетании с методами цифровой обработки сигналов позволило отбирать для анализа только те события, которые рождались внутри газовой ячейки, находящейся внутри чувствительного объема камеры. Преимуществом такого подхода является, в частности, то, что при правильном выборе размеров и положения газовой ячейки удается почти полностью подавить стеночный эффект. Кроме того, для фиксированной ячейки число атомов фтора в мишени может быть легко определено с использованием простейших газовых законов.

Как уже отмечалось ранее, время нарастания анодного сигнала несет в себе информацию о типе регистрируемой частицы. Действительно, если взять, например,  $\alpha$ -частицу и протон одной энергии, то длина пробега, а с ней и время собирания заряда для протона окажутся значительно больше, чем для  $\alpha$ -частицы. В данной работе удалось использовать этот принцип для разделения частиц по типу и за счет этого фон, возникающий из-за паразитных реакций, протекающих в рабочем газе и на электродах детектора, удалось заметно уменьшить. На рис. 2 показан спектр анодных сигналов, снимаемых с детектора,

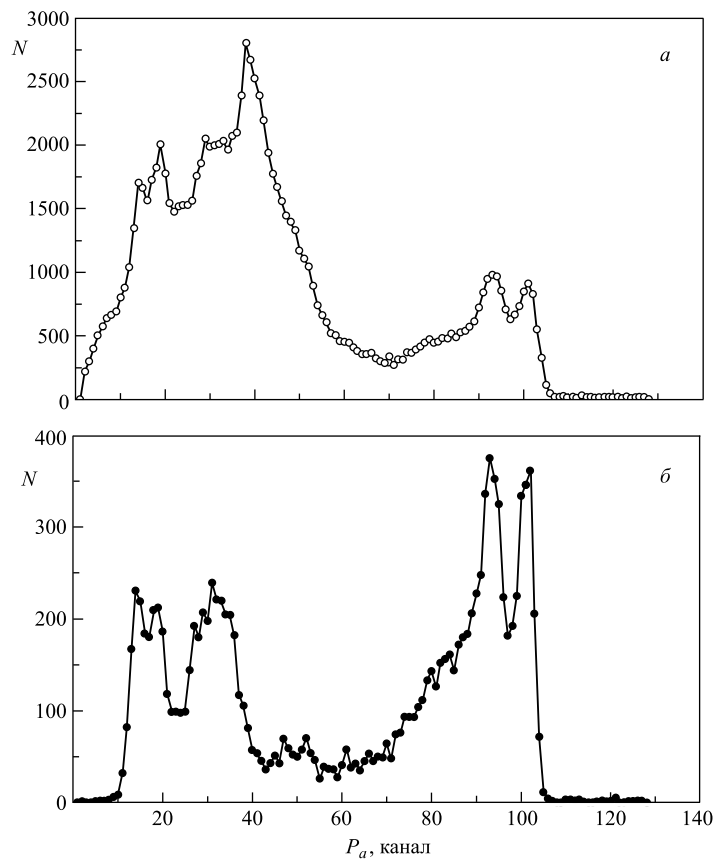


Рис. 2. *a)* Спектр сигналов, снимаемых с анода ионизационной камеры; *б)* тот же спектр после отбора событий

и тот же спектр после подавления фона. В полученном после подавления фона спектре наблюдается ряд линий, соответствующих разным каналам реакции  $^{19}F(n, \alpha)^{16}N$ . Отметим, что наблюдаемые пики соответствуют случаю вылета  $\alpha$ -частицы в направлении движения падающих нейтронов. Функция отклика спектрометра при регистрации продуктов реакции, протекающей на легком ядре, имеет сложную форму. Кинетическая энергия продуктов реакции всегда равна сумме энергии падающих нейтронов и энергии реакции. Однако в зависимости от угла разлета  $\alpha$ -частицы и остаточного ядра ( $^{16}N$ ) эта энергия по-разному распределяется между продуктами реакции. В процессе работы было обнаружено, что сигнал, производимый  $\alpha$ -частицей, всегда пропорционален ее энергии, в то время как для остаточного ядра велик амплитудный дефект и много энергии теряется в упругих столкновениях, не приводящих к ионизации среды, в которой оно движется. При этом если  $\alpha$ -частица испускается в направлении движения падающих нейтронов, то она уносит большую часть кинетической энергии, а на долю остаточного ядра, для которого велик амплитудный дефект, приходится лишь небольшая энергия. Такие события формируют отчетливый пик в энергетическом спектре. Если же в направлении движения нейтронов испускается остаточное ядро, то значительная часть энергии не пойдет на ионизацию и амплитуда сигнала окажется меньше. Такие события, также принадлежащие изучаемому каналу реакции, будут лежать левее указанного четкого пика, и их также необходимо учитывать при определении сечения реакции.

Схема уровней остаточного ядра показана на рис. 3. Из нее видно, что уровни можно условно разбить на две группы — основное состояние и находящиеся вблизи него уровни с 1-го по 3-й. К другой группе мы можем отнести все более высоко лежащие уровни. Эти две группы состояний разделены энергетической щелью в 3 МэВ, что позволяет разделить их в энергетическом спектре, несмотря на описанный ранее эффект, связанный с амплитудным дефектом. Определение дифференциального сечения для каждого канала реакции, связанного с заселением определенного возбужденного состояния остаточного ядра, является сложной математической задачей.

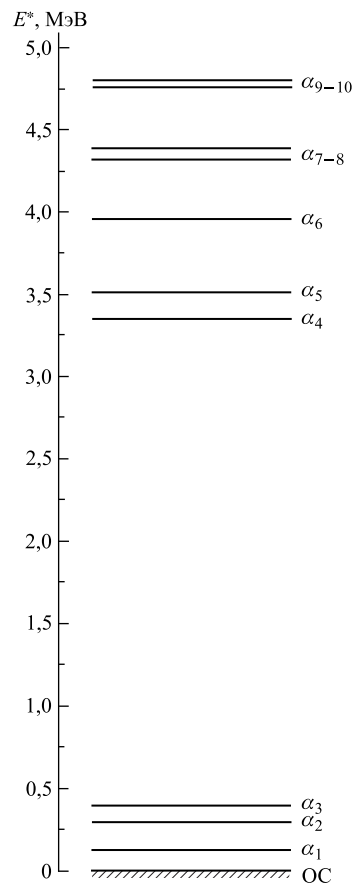


Рис. 3. Схема уровней ядра  $^{16}N$

## 2. РЕЗУЛЬТАТЫ

На рис. 4 и 5 показаны предварительные значения сечения реакции  $^{19}F(n, \alpha)^{16}N$ , полученные в данной работе. На рис. 4 приведено сравнение полученных данных с экспериментальными данными, доступными из литературы [1–5]. На рис. 5 показано сравнение полученных данных с оцененными данными из различных библиотек (ENDF/B VII,

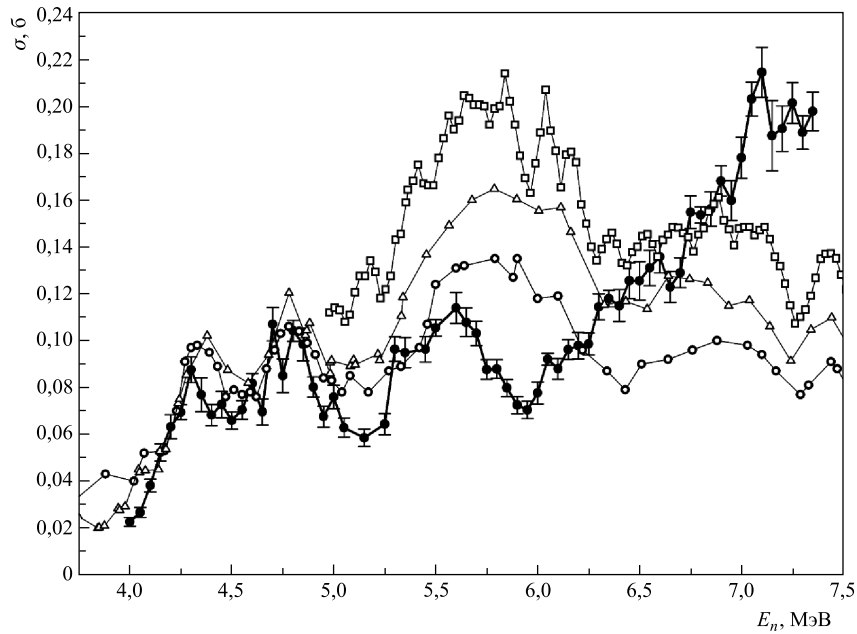


Рис. 4. Сечение реакции  $^{19}\text{F}(n, \alpha)^{16}\text{N}$  в сравнении с экспериментальными данными. Темные кружки — данные настоящей работы; светлые кружки — данные [1]; треугольники — [3]; квадраты — [2]

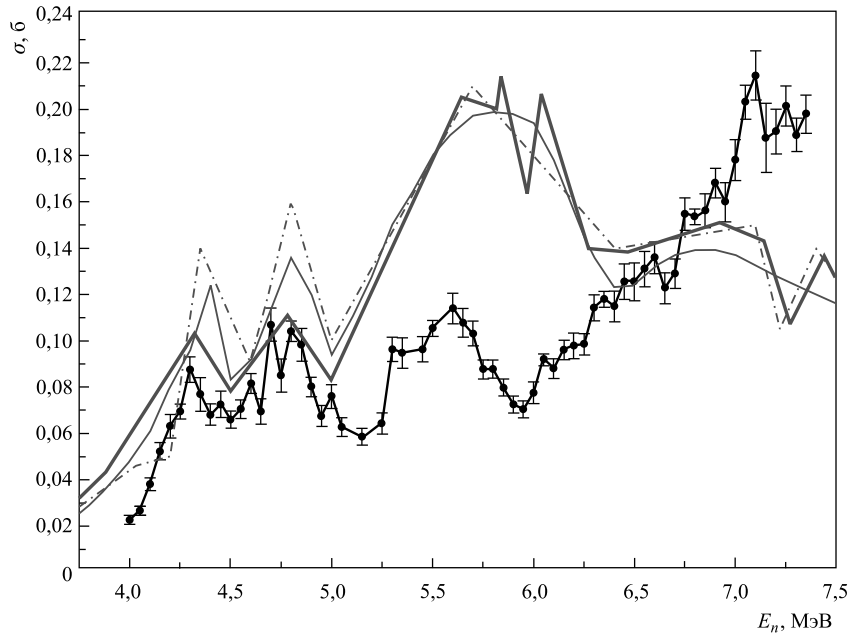


Рис. 5. Сечение реакции  $^{19}\text{F}(n, \alpha)^{16}\text{N}$  в сравнении с экспериментальными данными. Кривая с темными кружками — данные настоящей работы; жирная кривая — JENDL 4, ROSFOND2010; тонкая кривая — BROND 2.2; штрихпунктирная кривая — ENDF/B VII, JEFF 3.1, SENDL 3.1

BROND, JENDL). Для энергий нейтронов меньше 5,2 МэВ полученное сечение удовлетворительно описывается всеми оценками. В интервале энергий от 5,2 до 6 МэВ оценки лежат на 20–30 % выше полученных значений сечения. В целом для энергий нейтронов ниже 6 МэВ наши данные неплохо совпадают с данными, полученными в [1]. Для энергий нейтронов больше 6 МэВ в нашем эксперименте наблюдается резкий рост сечения, который не воспроизводится оценками. Более того, это резкое возрастание сечения отсутствует в данных, полученных другими авторами, включая данные [1]. Предварительный анализ показал, что за возрастание полного сечения в этом диапазоне энергий ответственны каналы, связанные с заселением верхних уровней возбуждения остаточного ядра ( $\alpha_4$  и более высокие). Сечение же каналов реакции, связанных с заселением низколежащих состояний в этой области, ведет себя плавно с тенденцией к понижению сечения с увеличением энергии возбуждения, в целом повторяя ход сечения, даваемый в [1].

Проведенный анализ работы [1] показал, что авторы не могли учитывать каналы, проявляющиеся в низкоэнергетической части спектра из-за большого фона от паразитных реакций, а также событий, соответствующих регистрации продуктов реакции, протекающих на боре-10 (в работе использовался газ  $BF_3$ ).

## ЗАКЛЮЧЕНИЕ

В работе использован ряд новых методических приемов, позволяющих существенно снизить фон и улучшить надежность определения количества событий, соответствующих реакции  $^{19}F(n, \alpha)^{16}N$ . По степени подавления фона данная установка значительно превосходит использовавшиеся ранее методики, применявшимися для исследования этой реакции. В работе были получены данные о величине сечения реакции  $^{19}F(n, \alpha)^{16}N$  в диапазоне энергий нейтронов от 4 до 7,35 МэВ. Показано, что в области энергий выше 5,2 МэВ наблюдается значительное отличие полученных данных от оценок, даваемых различными библиотеками. Расхождение полученных данных с данными других авторов может быть объяснено тем, что в предыдущих экспериментальных работах было недооценено влияние каналов реакции, связанное с заселением возбужденных состояний остаточного ядра с высокой энергией.

## СПИСОК ЛИТЕРАТУРЫ

1. *Davis E. A. et al.* The Disintegration of B10 and F19 by Fast Neutrons // Nucl. Phys. 1961. V. 27. P. 448–466.
2. *Bass R. et al.* Fast Neutron Excitation Function by Activation Techniques // Report from Euratom-Countries + Euratom to EANDC. 1966. No. 66. P. 6–9.
3. *Smith D. L., Meadows J. W., Whalen J. F.* Cross Sections for  $F-19(n, p)O-19$  and  $F-19(n, \alpha)N-16$  from Threshold to 9 MeV // Nucl. Sci. Eng. 1981. V. 77. P. 256–260.
4. *Marion J. B., Brugger R. M.* Neutron-Induced Reactions in Fluorine // Phys. Rev. 1955. V. 100. P. 69–74.
5. *Bostrom N.A., Hudspeth E.L., Morgan I.L.* Excitation Curve for  $F-19(n, \alpha)N-16$  // Phys. Rev. 1955. V. 99. P. 643–648(PA4).

Получено 30 октября 2012 г.